

سنگنگاری، زمین‌شیمی و خاستگاه سنگ‌های آتشفشاری شمال خاور شهر کرمان

مهین رفوسه^۱، علیرضا شاکر اردکانی^۲ و حجت‌الله رنجبر^۳

^۱ کارشناسی ارشد، سازمان زمین‌شناسی و اکتشافات معدنی ایران، واحد جنوب خاوری، کرمان، ایران

^۲ استادیار، گروه مهندسی معدن، مجتمع آموزش عالی زرند، دانشگاه شهید باهنر کرمان، کرمان، ایران

^۳ استاد، گروه مهندسی معدن، دانشکده فنی و مهندسی، دانشگاه شهید باهنر کرمان، کرمان، ایران

تاریخ پذیرش: ۱۳۹۲/۰۱/۱۷

تاریخ دریافت: ۱۳۹۳/۰۱/۱۷

چکیده

در شمال و شمال خاور کرمان در بلوک کلمرد سنگ‌های آتشفشاری، نیمه‌زرف (دایک) و آذرآواری (آگلومرا و توف) اثوسن وجود دارند. از دید سنگنگاری، گدازه‌ها ترکیب بازالتی، آندزیتی، ریوداسیتی و ریولیتی، دایک‌ها ترکیب آندزیتی و آذرآواری ها ترکیب توف بلورین دارند. سنگ‌های آتشفشاری دارای بافت‌های اصلی پورفیری، میکرولیتیک پورفیری و جریانی و از دید تجمع کائینایی دارای کائینایی پلازیوکلاز ± کوارتز ± فلدسپار پتاسیم ± بیوتیت ± آمفیبول ± کلینوپیروکسن ± الیوین + کلریت است. پلازیوکلازها دارای بافت‌های غیرتعادلی مانند بافت غربالی، تحلیل یافته دارند و آمفیبولها و بیوتیت‌ها نیز بیشتر دچار فرایند اپاکی شده‌اند. تشکیل این بافت‌ها را می‌توان به فرایندهای مانند آمیختگی ماقمایی، تغییرات فشار بخار آب و کاهش فشار همراه با از دست دادن جزیبی گرما در هنگام بالا آمدن ماقما ربط دارد. مطالعات زمین‌شیمی مشخص کرد که سنگ‌های آتشفشاری محدوده مطالعه جزو سری ماقمایی ساب آکالان با طبیعت کالک آکالان هستند. افزون بر این، سنگ‌های آتشفشاری اسیدی متا آلومینوس تا پرآلومینوس هستند و مشخصه گرانیتویدهای نوع آ را دارند. نمودارهای توصیفی عناصر کمیاب به همراه الگوی عناصر خاکی کمیاب بهنجار شده با کندریت نشان می‌دهد که سنگ‌های آذرین محدوده مطالعه در یک محیط کمان فعل قاره‌ای تشکیل شده‌اند.

کلیدواژه‌ها: کرمان، بلوک کلمرد، آمیختگی ماقمایی، کمان فعل قاره‌ای.

*نویسنده مسئول: مهین رفوسه

E-mail: refoseh@yahoo.com

۱- پیش‌نوشتار

منطقه مورد مطالعه در ۲۵ کیلومتری شمال و شمال خاور کرمان، در پهنه‌ای میان طولهای جغرافیایی "۵۹°۰'۵۷" تا "۵۷°۱۷'۲۹" و عرضهای جغرافیایی "۳۰°۵۶'" تا "۳۰°۳۴'۵۷" شمالی قرار گرفته است. منطقه مورد مطالعه دارای ریخت‌شناسی ملامی در جنوب و خش در محدوده شمالی است (شکل ۱) که از دید تقسیمات زمین‌شناسی جزیی از ایران مرکزی و جزو بلوک کلمرد در ناحیه کرمان است. این منطقه از شمال به سنگ‌های آتشفشاری حدواتسط و آذرآواری اثوسن پسین و از جنوب به سری سیمک با سنگ‌شناسی کنگلومراتی سترلایه، کنگلومرا با قله‌های درشت همراه با لایه‌های از ماسه‌سنگ محدود می‌شود (شکل ۲). سنگ‌های آتشفشاری به صورت ناپیوسته روی سنگ‌های کهن‌تر که بیشتر از آهک، شیل و ماسه‌سنگ تشکیل شده‌اند؛ قرار گرفته‌اند (شکل ۱). کوههای لارامید موجب چین خوردگی و بالا‌آمدگی آهک‌های کرتاسه شده است و مهم‌ترین عامل برای تعیین قطعات درشت، سازند کنگلومراتی کرمان است. از دیدگاه زمین‌ساختی می‌توان چنین بیان کرد که شرایط رسوبی قاره‌ای و نواحی کمرهای دریایی در منطقه حاکم بوده و رسوب گذاری مارن، شیل، آهک ریفی و آهک پکن‌دار در اوخر ژوراسیک میانی، ژوراسیک پایانی و احتمالاً نوکومین صورت گرفته است. جنبش‌های کوههایی کرتاسه پایینی سبب قرار گیری این رسوبات به طور پسرونده و ناهمسان روی رسوبات ژوراسیک شده است (عزیزان و همکاران، ۱۳۷۲). راه‌های دسترسی منطقه شامل جاده آسفالته کرمان - کوهپایه است که از خاور منطقه عبور می‌کند و تعدادی راه فرعی نیز روستاهای سیمک، دهشاه، انارستان و وامق آباد را به هم مرتبط می‌سازد.

۲- روش پژوهش

برای انجام این پژوهش پس از جمع آوری منابع و کسب اطلاعات لازم، همه کارهای پژوهشی پیشین که روی منطقه انجام شده بود به دقت مطالعه شد. تصاویر ماهواره‌ای استر و ETM⁺ منطقه تهیه و به منظور استخراج اطلاعات زمین‌شناسی منطقه استفاده

شدند. سپس طی بازدیدهای صحرایی از بخش‌های با کمترین دگرسانی حدود ۲۳ نمونه سنگی برداشت شد و پس از تهیه مقطع نازک و مطالعه آنها با میکروسکوپ پلاریزان، به منظور بررسی بیشتر ویژگی‌های سنگ‌شناسی و زمین‌شیمی سنگ‌های موردنظر، ۶ نمونه که نماینده انواع سنگی مختلف بودند انتخاب و برای تجزیه شیمیایی عناصر اصلی توسط روش XRF، فرعی و خاکی کمیاب توسط روش ICP-MS به آزمایشگاه ALS Chemex کانادا فرستاده شدند (جدول ۱).

۳- مطالعات صحرایی و سنگنگاری

به طور کلی سنگ‌های آذرین اثوسن منطقه مورد مطالعه را بیشتر گدازه‌ها تشکیل می‌دهند که با مقادیر کمتری توده‌های نفوذی نیمه‌زرف (دایک) و سنگ‌های آذرآواری همراه می‌شوند. گدازه‌ها دارای ترکیب سنگ‌شناختی بازالتی، آندزیتی، ریوداسیتی و ریولیتی هستند. بافت اصلی این سنگ‌ها پورفیری و میکرولیتیک پورفیری است که افزون بر بافت‌های یادشده در خمیره این سنگ‌ها بافت‌های گوناگون دیگری مانند میکرولیتیک و جریانی نیز دیده می‌شود (شکل ۳-الف).

- **ویژگی‌های سنگ‌شناسی سنگ‌های آذرین منطقه به تفکیک عبارتند از:**

- **ویژگی:** این سنگ‌ها بخش‌های به نسبت کمی از منطقه را به خود اختصاص داده‌اند که دارای توپوگرافی خشن و مرتفع بوده و به صورت قله‌هایی با ارتفاع زیاد در میان کوههای منطقه دیده می‌شوند. در بخش بالایی سنگ‌های ریولیتی حفراتی دیده می‌شود که به علت خروج گاز ایجاد شده و بیشتر توسط کوارتز ثانویه پر شده‌اند. از دید سنگنگاری، ریولیت‌ها دارای درشت‌بلورهای پلازیوکلاز (۱۰ درصد)، فلدسپار پتاسیم (۳ درصد)، کوارتز (۵ درصد) و بیوتیت (۵ درصد) در زمینه‌ای مشکل از کائی‌های ریز یادشده به همراه فلدسپار پتاسیم هستند؛ به گونه‌ای که پلازیوکلازها به صورت اشکال شکل دار تا نیمه‌شکل دار و بیشتر به فرم تخته‌ای هستند. پلازیوکلازها دارای ماکل‌های پلی سنتیک، کارلسپاد-آکیت و منطقه‌بندی هستند که با توجه به زاویه خاموشی ماکل‌های پلی سنتیک (۸-۱۸ درجه) بیشتر

تشکیل دهنده این گروه سنگ‌ها هم به صورت درشت‌بلور و هم میکروولیت است که بیش از ۷۰ درصد از کل سنگ را شامل می‌شود؛ به گونه‌ای که درشت‌بلورهای آن عمدتاً شکل دار تا نیمه‌شکل دار بوده و دارای ماکلهای پلی‌ستنتیک و منطقه‌بندی هستند. فلدسپار پاتاسیم یکی دیگر از درشت‌بلورهای موجود در آن‌زیست‌ها است که حدود ۳ درصد حجمی را به خود اختصاص داده است و عمدتاً به صورت شکل دار تا نیمه‌شکل دار است. اندازه آنها بیشینه ۳ میلی‌متر است و به شدت به کانه‌های رسی دگرسان شده‌اند. از دیگر درشت‌بلورهای موجود می‌توان به بیویت اشاره کرد که حدود یک درصد از کل سنگ را به خود اختصاص می‌دهد. شکل دار تا نیمه‌شکل دار و بیشینه اندازه آنها ۲ میلی‌متر است. آمفیبیول‌های موجود در این سنگ‌ها به صورت شکل دار تا نیمه‌شکل دار است و در حدود ۱ درصد از کل سنگ را شامل می‌شود. اندازه آنها میان ۰/۳ تا ۰/۵ میلی‌متر و گاه در حدود ۱/۵ میلی‌متر است. برخی از آمفیبیول‌ها در اثر دگرسانی، به اکسید آهن، کلسیت، کلریت و بیویت ثانویه تبدیل شده‌اند و تنها قالبی از آنها باقی مانده است (شکل ۳-ث). کلینوپیروکسن نیز از دو نسل اصلی تشکیل شده‌اند: الف) درشت‌بلورهای کلینوپیروکسن که اندازه آنها حدود یک میلی‌متر است و معمولاً رنگ تداخلی بالای دارند و شکل دار هستند و به سطوح بلورین خود محدود می‌شوند و حدود ۳ درصد از کل سنگ را تشکیل می‌دهند (شکل ۳-ج)؛ ب) میکرودرشت‌بلورهای کلینوپیروکسن که معمولاً حالت نیمه‌شکل دار دارند و در فازهای بعدی متبلور شده‌اند. این کانه‌ها نیز حدود ۳ درصد از کل سنگ را به خود اختصاص می‌دهند.

- بازالت: بازالت‌های منطقه مورد مطالعه دارای گسترش زیادی نیستند و در نمونه دستی رنگ آنها سیاه و بافت عده آنها پورفیری است. در این سنگ‌ها مجموعه‌ای از درشت‌بلورهای پلاژیوکلاز، الیوین، کلینوپیروکسن، آمفیبیول و کانه‌های کدیر در زمینه‌ای از مزوستاز و یا شیشه قرار گرفته‌اند؛ به گونه‌ای که درشت‌بلورهای پلاژیوکلاز حدود ۱۰ درصد کل سنگ را تشکیل می‌دهند و به صورت شکل دار تا نیمه‌شکل دار و به فرم تخته‌ای هستند. پلاژیوکلازها ماکلهای پلی‌ستنتیک و کارلسپاد-آلیت نشان می‌دهند و بیشتر به کلسیت، کلریت، اپیدوت و اکسید آهن دگرسان شده‌اند. از دیگر درشت‌بلورهای موجود در بازالت‌ها، الیوین است که ۵ درصد کل سنگ را تشکیل می‌دهند. الیوین‌ها شکل دار بوده و با توجه به اینکه نسبت به دیگر کانه‌ها در برابر دگرسانی حساس‌تر هستند، بنابراین به شدت دگرسان شده و تنها فرم اولیه بی‌پیرامیدال آنها باقی مانده است که بیشتر توسط کانه‌های ثانویه کلسیت و کلریت جانشین شده‌اند. آمفیبیول از دیگر کانه‌های موجود در برخی از نمونه‌های بازالتی است که هم به صورت درشت‌بلور و هم به صورت کانه‌های ریز در زمینه حضور دارند و در حدود ۱ درصد از کل سنگ را به خود اختصاص داده‌اند. درشت‌بلورهای شکل دار آمفیبیول به شدت دگرسان شده‌اند و تنها قالب عرضی شش وجهی آنها بر جای مانده است که توسط کانه‌های ثانویه کلریت، کلسیت، اپیدوت و اکسید آهن جانشین شده‌اند. از دیگر درشت‌بلورهای موجود در بازالت‌ها می‌توان به کلینوپیروکسن اشاره کرد که ۳ درصد کل سنگ را تشکیل می‌دهند. کلینوپیروکسن‌ها با توجه به ویژگی‌های نوری همچون رنگ تداخلی و زاویه خاموشی (۳۵-۳۰°) که از خود نشان می‌دهند، از نوع اوپیت هستند. این درشت‌بلورها به صورت بلورهای شکل دار تا نیمه‌شکل دار و اندازه ۱ تا ۱/۵ میلی‌متر هستند. گاه کلینوپیروکسن‌ها در اثر تجزیه به اورالیت دگرسان شده‌اند.

دایکهای منطقه از دید ترکیب سنگ‌شناختی، ترکیب آن‌زیستی و بافت میکرولیتیک پورفیری دارند. درشت‌بلورهای موجود در دایکهای شامل پلاژیوکلاز (۱۰ درصد)، کلینوپیروکسن (۵ درصد)، آمفیبیول (۳ درصد) و کانه‌های کدیر (۳ درصد) هستند؛ به گونه‌ای که درشت‌بلورهای پلاژیوکلاز به صورت شکل دار تا نیمه‌شکل دار هستند و بیشینه اندازه آنها در حد ۳ میلی‌متر است که بیشتر به کلسیت دگرسان شده‌اند. بلورهای کلینوپیروکسن نیز شکل دار تا نیمه‌شکل دار با بیشینه اندازه

سدیک و از نوع آلبیت تا الیکوکلاز هستند. اندازه آنها از ۱ تا ۳ میلی‌متر متغیر است و گاه دارای حواشی تحلیل یافته هستند. این کانه‌ها تحت تأثیر محلول‌های گرمابی، در امتداد رخنه با شدت‌های متفاوت دگرسان شده و بیشتر به سریسیت تبدیل شده‌اند.

کوارتز از دیگر کانه‌های موجود در رویولیت‌هاست که به صورت نیمه‌شکل دار تا بی‌شکل بوده و اندازه آنها از ۰/۲ میلی‌متر به صورت ریزبلور در زمینه تا بیشینه ۵ میلی‌متر به صورت درشت‌بلور متغیر است. درشت‌بلورهای کوارتز حالت خوردگی خلیجی دارند (شکل ۳-ب) که این حالت به علت رشد غیرتعادلی یا تأثیرات اتحالی ناشی از کاهش فشار در هنگام بالآمدگی ماگما به سطح زمین به وجود می‌آید (Nelson & Montana, 1992). به طور کلی عوامل مؤثر در ایجاد خوردگی خلیجی کوارتز عبارتند از (Donaldson & Henderson, 1988; Shelly, 1993)

(۱) کاهش فشار ناشی از بالآمدگی ماگما و افزایش فشار بخار آب نسبت به فشار کل سبب تغییر حالت اوتکتیک کوارتز-ارتوز و آلبیت شده که در این حالت فشار بخار آب منحنی کوتکتیک را پایین می‌آورد و در پایان سبب ناپایداری و اتحال کوارتز می‌شود.

(۲) کاهش فشار کل و افزایش فشار بخار آب سبب تغییر دما می‌شود و همچنین اکسایش گازی در نزدیکی سطح زمین دمای ماگما را افزایش می‌دهد و این زمینه اتحال درشت‌بلورهای کوارتز پیش از تشکیل شده‌اند با قرارگیری در منابع باگر مای بالاتر (برای نمونه ماگمای بازیک) با آن واکنش می‌دهد و اشکال اتحالی در آنها ایجاد می‌شود.

(۳) خروج حباب‌های گاز از پیرامون این درشت‌بلورها به سیال حرکت متلاطمی می‌دهد (به‌ویژه در محل تماس حباب با سطح بلور)، سبب اتحال سریع و ایجاد حفره در آنها می‌شود.

(۴) آمیختگی ماگمایی در آتش‌شان‌ها بسیار معمول است که در بسیاری از موارد قرارگیری این بلورها در یک ترکیب بازیک تر اتحال می‌یابند.

(۵) آمیختگی ماگمایی در آتش‌شان‌ها بسیار معمول است که در بسیاری از موارد قرارگیری این بلورها در یک ترکیب بازیک تر اتحال می‌یابند.

(۶) تغییر ترکیب شیمیایی ماگما همراه با تغییر فشار.

بیویت از دیگر درشت‌بلورهای موجود در رویولیت‌ها بوده که تقریباً ۵ درصد از کل سنگ را تشکیل می‌دهند. اندازه آنها ۱ تا ۲ میلی‌متر بوده و شماری از بیویت‌ها دارای حالت اعوجاج و شکسته شده هستند (شکل ۳-ب) که این مسئله نشانی از تحمل فشار است (Vernon, 2004). همچنین برخی از بیویت‌ها دارای حواشی تحلیل یافته هستند و عموماً اپاکی شده‌اند (شکل ۳-ت) که این پیامد ناشی از کاهش فشار کل نسبت به فشار بخار آب است که به دنبال آن افزایش تصاعدی مواد فرار سبب تسريع فرایند اکسایش و افزایش چشمگیر بخار آب موجب اکسیده شدن این کانی می‌شود (بومری و همکاران, ۱۳۸۳).

- روپاداسیت: بیشتر سنگ‌های روپاداسیت موجود در منطقه مورد مطالعه در محدوده روستای سیمک رخمنون دارند و در جاهای دیگر منطقه گسترش این سنگ‌ها بسیار کم و تنها محدود به رخمنون‌های ریولیتی موجود در منطقه هستند و پیژگی‌های کانی‌شناسی کاملاً مشابه سنگ‌های روپاداسیت این سنگ‌ها از دید تجمع کانی‌ای با این تفاوت که درشت‌بلورهای فلدسپار پاتاسیم ندارند و همچنین درصد حجمی میکرولیت‌های پلاژیوکلاز آن به مراتب بیشتر از فلدسپار آلکالن موجود در زمینه است (نسبت پلاژیوکلاز به فلدسپار آلکالن تقریباً ۳ به ۱ است).

- آن‌زیست: آن‌زیست‌های موجود در منطقه گسترش زیادی دارند و در سطح تازه شکسته شده، خاکستری تا سیز رنگ و دارای بافت پورفیری هستند. تجمع درشت‌بلورهای پلاژیوکلاز، فلدسپار پاتاسیم، بیویت، آمفیبیول، کلینوپیروکسن و کانه‌های کدیر در یک زمینه میکرولیتی سبب تشکیل بافت گلومروپورفیری شده است. گاه حضور کوارتز اولیه در زمینه سبب می‌شود که ترکیب سنگ به سوی آن‌زیست کوارتزدار متمایل شود. پلاژیوکلاز از جمله فراوان‌ترین اجزای

درجه اشباعشدگی آلومین می شود (Lang, 1991; در گاهی، ۱۳۸۶). الگوی عناصر خاکی کمیاب بھنگار شده با کندبریت نیز برای نمونه های آتشفسانی مورد مطالعه رسم شد (شکل ۱۰)، همان گونه که دیده می شود روند نمونه بازالتی با نمونه های اسیدی متفاوت است همچنین نمونه های یاد شده از دید بی هنجاری دارای دو روند کلی هستند. برخی از آنها بدون بی هنجاری هستند (نمونه بازالتی) و برخی از آنها بی هنجاری منفی دارند (نمونه های اسیدی). بنابراین به نظر می رسد که باید بی هنجاری منفی Eu را به نقش باقی ماندن پلاژیو کلاز در پسماند حاصل از ذوب (Campbell et al., 1982; Lentz, 1998) و یا کم بودن فوگاسیته اکسیژن مربوط دانست؛ زیرا در شرایط احیایی Eu به صورت Eu^{+2} در آمده و در مذاب پسمانده متراکز می شود (Cullers & Graf, 1984)؛ در صورتی که نبود بی هنجاری مشخص Eu، میین تفریق کم اهمیت پلاژیو کلاز و یا شرایط اکسیدان ماگمای تشکیل دهنده آنهاست؛ زیرا در شرایط اکسیدان از شکل گیری Eu^{+2} جلو گیری می شود (Magganas, 2002) و در واقع Eu به صورت Eu^{+3} در می آید و به مانند دیگر REE ها رفتار می کند (Cullers & Graf, 1984). همچنین به نظر می رسد که تفاوت ترکیبی نمونه ها از دید عناصر خاکی کمیاب باید از مشناهای متفاوت، درجات تفریق متفاوت، ذوب بخشی گوناگون و آمیختگی از این عوامل حاصل شده باشند؛ چرا که شکل الگوی REE ها بیشتر در قالب این عوامل توجیه می شود (Henderson, 1984).

۵- سنگ زایی

برای تعیین محیط زمین ساختی سنگ های آذرین منطقه مورد مطالعه از نمودار های مختلف محیط زمین ساختی استفاده شد. همان گونه که در نمودار TiO_2 - Al_2O_3 (Muller & Groves, 1997) دیده می شود همه نمونه های یاد شده در محدوده سنگ های مرتبط با کمان هستند و به طور مشخص از محیط زمین ساختی درون صفحه ای جدا می شوند (شکل ۱۰). Pearce et al. (1984) برای جدایش گرانیت های برخوردار از گرانیت های کمان آتشفسانی نمودار هایی را ارائه کردند؛ به گونه ای که نیز از این نمودارها برای تعیین محیط تشکیل ریولیت های منطقه لورنتیان استفاده کردند، بنابراین همان گونه که در شکل ۱۱ دیده می شود سنگ های اسیدی منطقه مورد مطالعه در محدوده گرانیت های مرتبط با کمان قرار گرفته اند. همچنین سنگ های منطقه مورد مطالعه در نمودار Wood (1980) نیز در محدوده مرتبط با کمان قرار می گیرند (شکل ۱۲). این در حالی است که با توجه به الگوی چند عنصری نمونه ها (شکل ۱۳)، تقریباً تمرکز بالای Th و بی هنجاری منفی Ti و Nb دیده می شود و این نوع توزیع عناصر نیز نشان از شکل گیری سنگ های منطقه مورد مطالعه در محیط زمین ساختی مرتبط با کمان دارد (Pfander et al., 2002). لازم به یاد آوری است که همه ماگماهای مرتبط با کمان از Nb تهی شدگی دارند؛ چرا که عدم تحرک Nb و باقی ماندن آن در صفحه فرو رونده وارد نشدن این عنصر در سیالات آزاد شده از صفحه فرو رونده برخلاف Th دلیل اصلی این عامل است (Pfander et al., 2002). همچنین غنی شدگی از عناصر U و Rb نیز به علت ماهیت فرو رانش است؛ زیرا به علت تحرک به نسبت بالای این عناصر سیال های مشتق شده از صفحه فرو رونده غنی از این عناصر هستند (Khalaji et al., 2005; He et al., 2007) بازالتی منطقه مورد مطالعه از دید Sr با الگوی نمونه های اسیدی متفاوت و دارای بی هنجاری مثبت است. وجود بی هنجاری مشت Sr می تواند نشانه منشأ گرفتن ماگماهای تشکیل دهنده این سنگ ها از پوسته اقیانوسی فرورو باشد؛ چرا که ماگماهایی که از ذوب پوسته فاره ای مشتا می گیرند بی هنجاری منفی Sr دارند (Wang et al., 2006). بنابراین احتمال دارد که نمونه های اسیدی منطقه مورد مطالعه تحت تأثیر آلودگی پوسته ای قرار گرفته باشند. (Dunphy & Ludden, 1998)

۳ میلی متر هستند و گاه به ترمولیت- اکتینولیت دگرسان شده اند و در حاشیه و در راستای رخ های آنها اکسید آهن جانشین شده است. درشت بلورهای آمفیبول نیز عمده تا به صورت نیمه شکل دار هستند و بیشینه اندازه آنها ۲ میلی متر است که گاه به کلریت، بیوتیت ثانویه و اکسیدهای آهن دگرسان شده اند. کانی های کدر عمده تا به صورت شکل دار تا نیمه شکل دار هستند و در برخی جاها به صورت گروهی تجمع حاصل کردند (شکل ۳-ج).

نهشته های آذرآواری موجود در منطقه مورد مطالعه مشتمل بر توف های بلورین و آگلومرات است. توف های بلورین عمده تا دارای کانی های پلاژیو کلاز، کوارتز، کلینوپیرو کسن، آمفیبول، بیوتیت و کانی های کدر هستند (شکل ۳-ج). در توف های موجود در اطراف بیوتیت هایی که دچار فرایند اکساشیون شده اند آثاری از کانی های ثانویه به ویژه اپیدوت به صورت هاله ای فرا گرفته است (شکل ۴-الف). همچنین در برخی از آنها آثار مالاکیت نیز دیده می شود. آگلومراها دسته ای از سنگ های آذرآواری منطقه مورد مطالعه هستند که حجم به نسبت محدودی در منطقه مورد مطالعه دارند. آگلومراها دارای قطعاتی در اندازه بیشینه ۱۰ سانتی متر هستند (شکل ۴-ب). ترکیب سنگ شناختی قطعات موجود در آنها بیشتر از نوع آندزیتی (دارای درشت بلورهای پلاژیو کلاز و بیوتیت ها و آمفیبول های اپاکی شده) تا داسیتی (دارای درشت بلورهای پلاژیو کلاز، کوارتز و احتمالاً آمفیبول هایی که توسط اکسید آهن جانشین شده اند) است.

از پدیده های قابل توجه در سنگ ها، بیوتیت ها گاه دارای حالت خمیدگی و شکسته شده هستند که نشان دهنده اعمال فشار است (Vernon, 2004). همچنین اپاکی شدن بیوتیت ها و آمفیبول های موجود در سنگ های منطقه مورد مطالعه عمومیت دارد. به طور کلی حضور بافت غربالی، منطقه بندی و حاشیه واجذبی در بلورهای پلاژیو کلاز به همراه خوردگی خلیجی کوارتز و اپاکی شدن بیوتیت ها و آمفیبول های سنگ های آتشفسانی منطقه مورد مطالعه نشانگر شرایط ناتعادی در زمان تبلور این سنگ هاست و عواملی چون آمیختگی ماگمایی، تغییر در دما، فشار و ترکیب شیمیایی می تواند این شرایط را فراهم آورد (Gill, 1981; Best & Christiansen, 2001; Kawabata & Shuto, 2005; Plechov et al., 2008).

۶- مطالعات زمین شمی

سنگ های آتشفسانی منطقه مورد مطالعه، بر پایه نمودار Winchester & Floyd (1977) در محدوده بازالت- آندزیت، داسیت- ریوداسیت و تراکی آندزیت با تمایلی به محدوده ریولیت رسم می شوند (شکل ۵) که این چگونگی قرار گیری با مطالعات سنگ نگاری نیز همخوانی دارد. با توجه به اینکه سری ماگمایی برای تعیین فرضیه ارتباط رژیم های زمین ساختی مختلف و مدل سازی رویدادهای زمین ساختی بسیار مفید است (Rollinson, 1998)؛ بنابراین برای تعیین سری ماگمایی، نمودارهای متعادلی بر پایه اکسیدهای اصلی و عناصر غیر مترک توسط سنگ شناسان ارائه شده است؛ در این پژوهش از نمودارهای SiO_2 در برابر Nb/Y (Irvine & Baragar, 1971) و $Winchester & Floyd, 1977$ (Nb/Y؛ شکل ۶) و $Winchester & Floyd, 1977$ (Nb/A) در برابر A/CNK (Shand, 1943) در محدوده متا آلومینوس تا پرا آلومینوس جای می گیرند (شکل ۸)؛ البته حضور کانی های مافیک (شامل آمفیبول و بیوتیت) و نیز نبود کانی های مشخصه گرانیت های پر آلالکالن و پر آلومینوس دلیلی بر متأ آلومینوس بودن سنگ های اسیدی منطقه مورد مطالعه است و قرار گیری آنها در محدوده پر آلومینوس را بایستی به دگرسانی سریسیتی فلدرسپارهای موجود در آنها مربوط دانست؛ چرا که این نوع دگرسانی سبب افزایش

- بافت غربالی، منطقه‌بندی و حاشیه خورده شده در بلورهای پلازیوکلاز به همراه خوردگی خلیجی کوارتز و اپاکی شدن بیوتیت‌ها و آمفیبولهای سنگ‌های آتشفشنای منطقه مورد مطالعه نشانگر شرایط ناتعادلی در زمان تبلور این سنگ‌هاست. عواملی چون آبیخنگی مگماهی، تغییر در دما، فشار و ترکیب شیمیایی می‌تواند این شرایط را فراهم آورد.

- بر طبق مطالعات زمین‌شیمی سنگ‌های آتشفشنای منطقه مورد مطالعه از دید سنگ‌شناختی در سری مگماهی ساب‌آلکالن با طبیعت کالک‌آلکالن قرار می‌گیرند و سنگ‌های اسیدی جزو گرانیتوییدهای نوع I با طبیعت پرآلومینوس به شمار می‌روند.

- نبود بی‌هنجاری مشخص Eu برای نمونه بازالتی منطقه مورد مطالعه در الگوی بهنجارشده عناصر خاکی کمیاب، نشان‌دهنده تفریق کم اهمیت پلازیوکلاز و یا شرایط اکسیدان مگماهی تشکیل‌دهنده آنهاست؛ در حالی که بی‌هنجاری منفی Eu در نمونه‌های اسیدی را می‌توان به باقی ماندن پلازیوکلاز در پسماند حاصل از ذوب یا جداش آن در طی تفریق و یا ذوب بخشی و یا کم بودن فوگاسیته اکسیژن مربوط دانست.

- وجود بی‌هنجاری مثبت Si نمونه بازالتی منطقه مورد مطالعه، بیانگر منشأ گرفتن مگماهی تشکیل‌دهنده این سنگ‌ها از پوسته اقیانوسی فرورو است؛ در حالی که بی‌هنجاری منفی Si نمونه‌های اسیدی احتمالاً ناشی از آسودگی پوسته‌ای مگماهی تشکیل‌دهنده آنهاست.

- نمودارهای تمایز کننده محیط زمین‌شناختی همراه با نمودارهای عنکبوتی نشان‌دهنده آن است که سنگ‌های آتشفشنای منطقه مورد مطالعه در یک محیط کمان قاره‌ای ایجاد شده‌اند.

استفاده از دو عنصر کمیاب Y و Zr محیط زمین‌ساختی کمان مگماهی را به دو کمان آتشفشنای اقیانوسی و کمان آتشفشنای حاشیه فعال قاره‌ای تقسیم کردند. بنابراین بر پایه این نمودار، نمونه‌های منطقه مورد مطالعه در محدوده حاشیه فعال قاره‌ای قرار گرفته‌اند (شکل ۱۴).

۶- نتیجه‌گیری

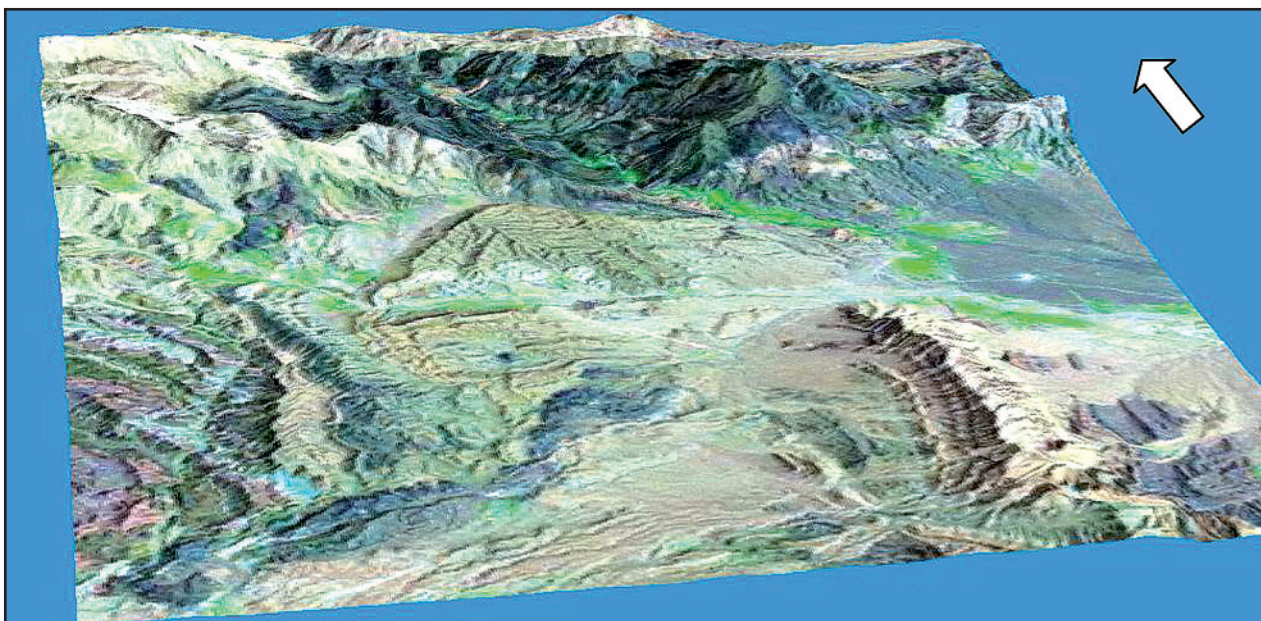
با توجه به مطالعات صحرایی، سنگ‌نگاری و زمین‌شیمی سنگ‌های آذرین موجود در شمال و شمال خاور کرمان نتایج زیر حاصل شد:

- مطالعات میکروسکوپی نشان می‌دهد که ترکیب سنگ‌شناختی گدازه‌ها بازالتی، آندزیتی، ریوداسیتی و رویولیتی، ترکیب سنگ‌شناختی دایک‌ها آندزیتی و ترکیب سنگ‌شناختی توف‌ها توف بلورین و آگلومرات؛ به گونه‌ای که درشت‌بلورهای موجود در این سنگ‌ها شامل پلازیوکلاز ± فلدسپار پتاسم ± کوارتز ± بیوتیت ± آمفیبول ± کلینوپیر و کسن ± البوین + کانی‌های کِدر است و بافت شاخص گدازه‌ها و دایک‌ها پورفیری، میکرولیتیک پورفیری و جریانی است.

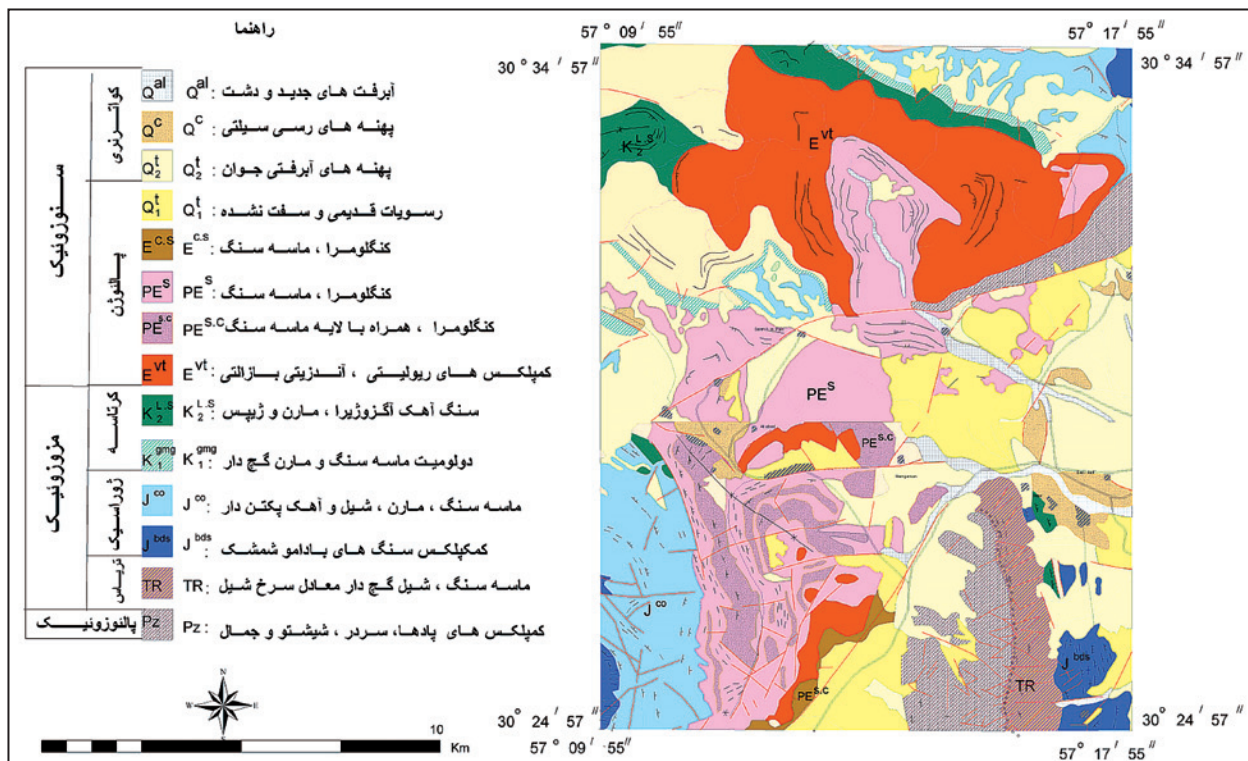
- فراوان‌ترین کانی این سنگ‌ها، پلازیوکلاز است که به دو صورت بلورهای ریز تیغه‌ای و درشت تخته‌ای عموماً نیمه‌شکل دار دیده می‌شوند. این بلورها شامل ماکل پلی‌ستنتیک، منطقه‌بندی، بافت غربالی و حواشی خورده شده هستند.

- بلورهای کوارتز در سنگ‌های ریوداسیتی و رویولیتی دارای بافت خلیجی هستند و در زمینه‌ای از بلورهای بسیار ریز فلدسپار قلایایی دیده می‌شوند.

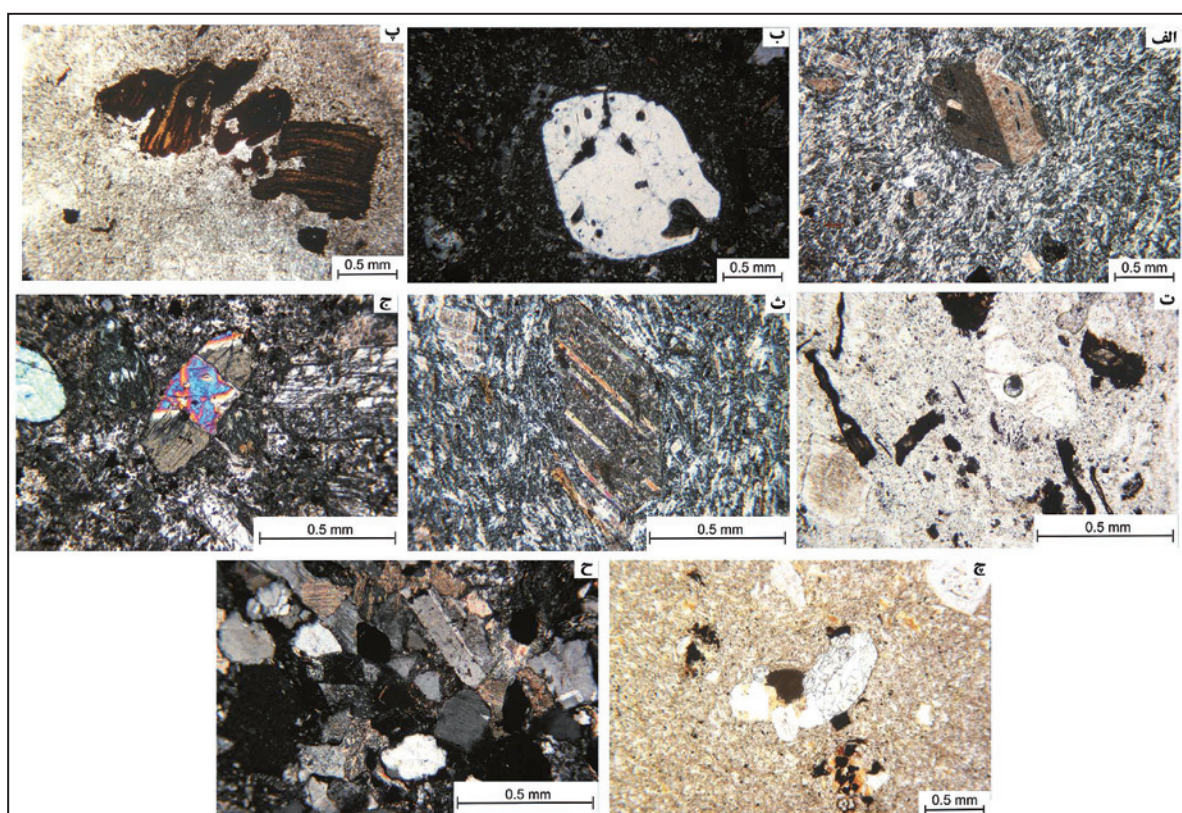
- گاه بیوتیت‌ها دارای حالت اعوجاج و شکسته شده هستند که نشان‌دهنده اعمال فشار است. همچنین اکسیده و اپاکی شدن بیوتیت‌ها و آمفیبولها در سنگ‌های منطقه مورد مطالعه عمومیت دارد.



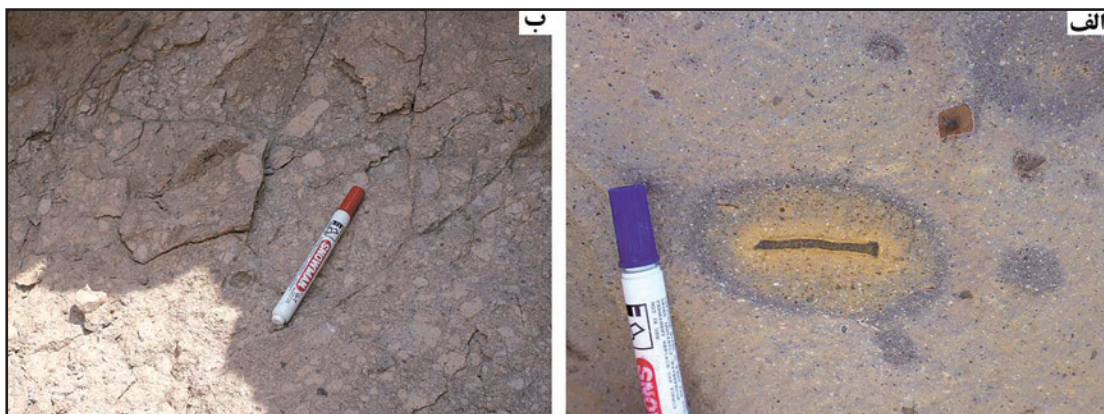
شکل ۱- ریخت‌شناسی عمومی منطقه. تصویر ترکیب رنگی ۷-۴-۱۱ ماهواره‌لنست روی مدل ارتفاعی رقومی منطبق شده است، سنگ‌های آتشفشنای در شمال و جنوب‌بaxتر با رنگ تیره دیده می‌شوند.



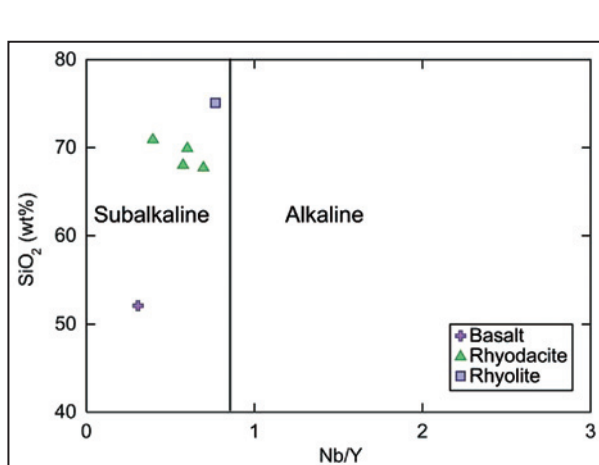
شکل ۲- نقشه زمین‌شناسی منطقه مورد مطالعه (برگرفته از نقشه‌های ۱:۱۰۰۰۰ زمین‌شناسی کرمان (عزیزان و همکاران، ۱۳۷۲) و حرجند (سهندی و حاج‌ملاعلی، ۱۳۷۴)).



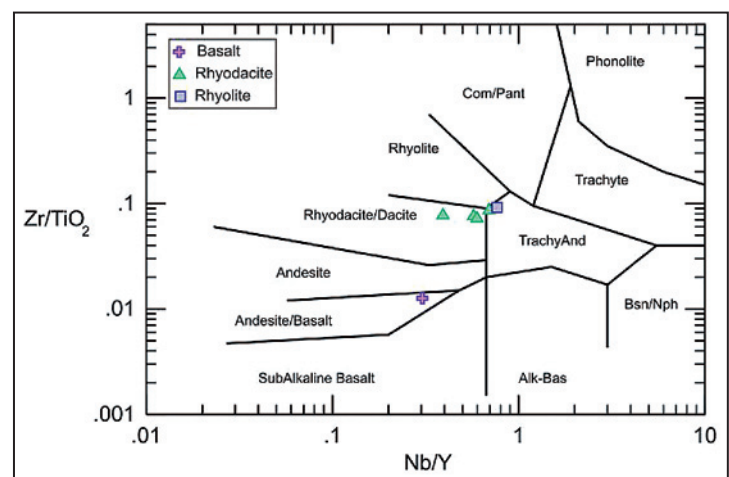
شکل ۳- (الف) حضور درشت‌بلور فلدوسپار پاتاسیم در زمینه‌ای با بافت جریانی (وضعیت نور: XPL); (ب) نمایی از درشت‌بلور کوارتر خلیجی (وضعیت نور: XPL); (ب) درشت‌بلورهای بیوتیت که دچار پدیده خمث شده‌اند (وضعیت نور: PPL); (ت) درشت‌بلورهای بیوتیت اپاکی شده با حواشی تحلیل بافته (وضعیت نور: PPL); (ث) درشت‌بلور آمفیبیول که به کانی ثانویه کلسیت دگرسان شده است (وضعیت نور: XPL); (ج) نمایی از درشت‌بلورهای کلینوپیروکسن (وضعیت نور: XPL); (ج) درشت‌بلورهای کلینوپیروکسن به همراه تجمع کانی‌های کلر (وضعیت نور: PPL); (ج) حضور کانی‌های پلازیوکلاز، کوارتز، آمفیبیول، کلسیت و اکسیدهای آهن در توف بلورین (وضعیت نور: XPL).



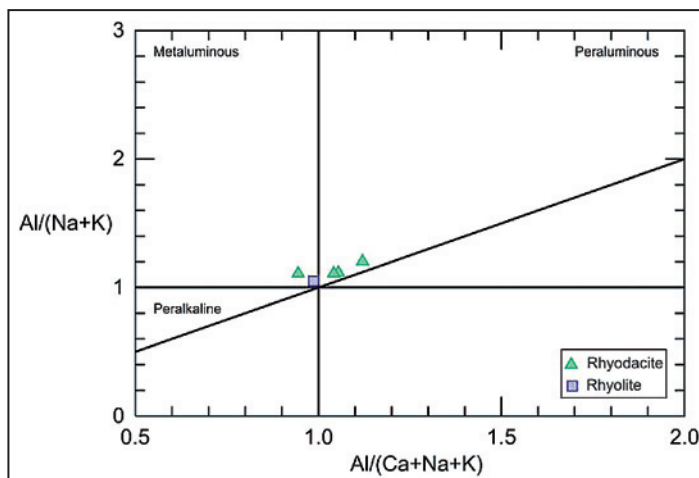
شکل ۴- (الف) نمایی از هاله دگرسانی اپیدوتی شدن در پیرامون بلور بیوتیت اپاکی شده در توف‌های منطقه مورد مطالعه؛ (ب) نمایی از آگلومراهای موجود در منطقه مورد مطالعه.



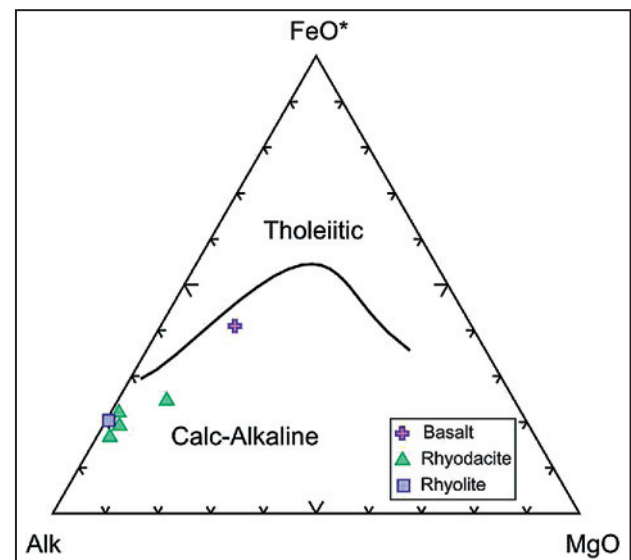
شکل ۶- تعیین سری ماقمایی سنگ‌های آتش‌شسانی منطقه مورد مطالعه بر پایه نسبت Nb/Y در برابر SiO_2 (Winchester & Floyd, 1977)



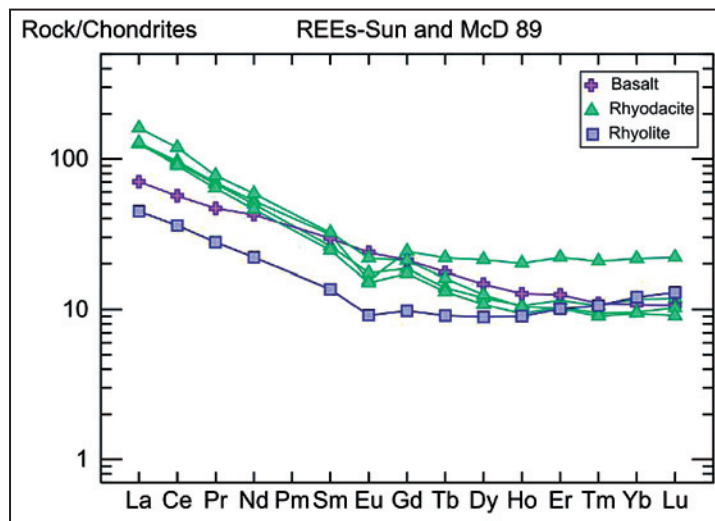
شکل ۵- نام‌گذاری زمین‌شیمی نمونه‌های سنگ‌های آتش‌شسانی منطقه مورد مطالعه بر پایه نسبت Zr/TiO_2 در برابر Nb/Y (Winchester & Floyd, 1977)



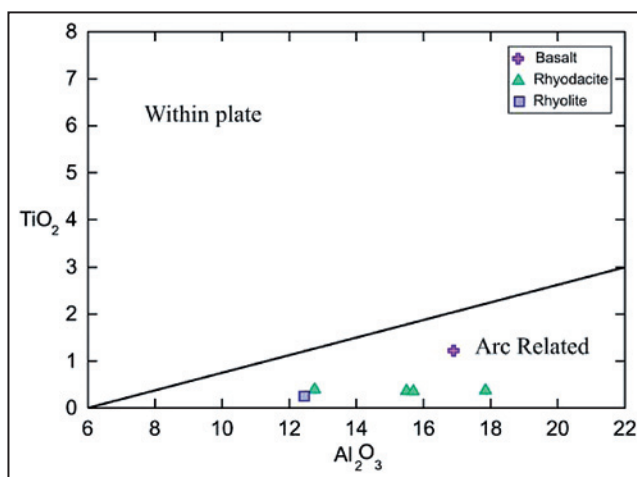
شکل ۷- نمودار (Shand, 1943) برای نمونه‌های اسیدی منطقه مورد مطالعه.



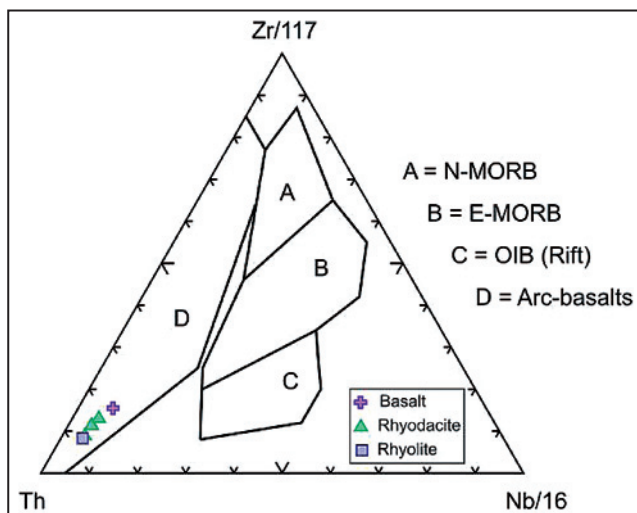
شکل ۸- نمودار (Irvine & Baragar, 1974) AFM برای نمونه‌های آتش‌شسانی منطقه مورد مطالعه بر پایه نمودار



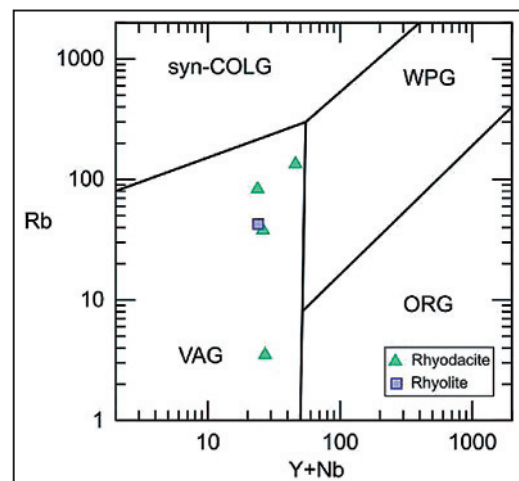
شکل ۹- الگوی عناصر خاکی کمیاب بهنجار شده بر پایه کندریت (Sun & McDonough, 1989) برای نمونه‌های موجود در منطقه مورد مطالعه.



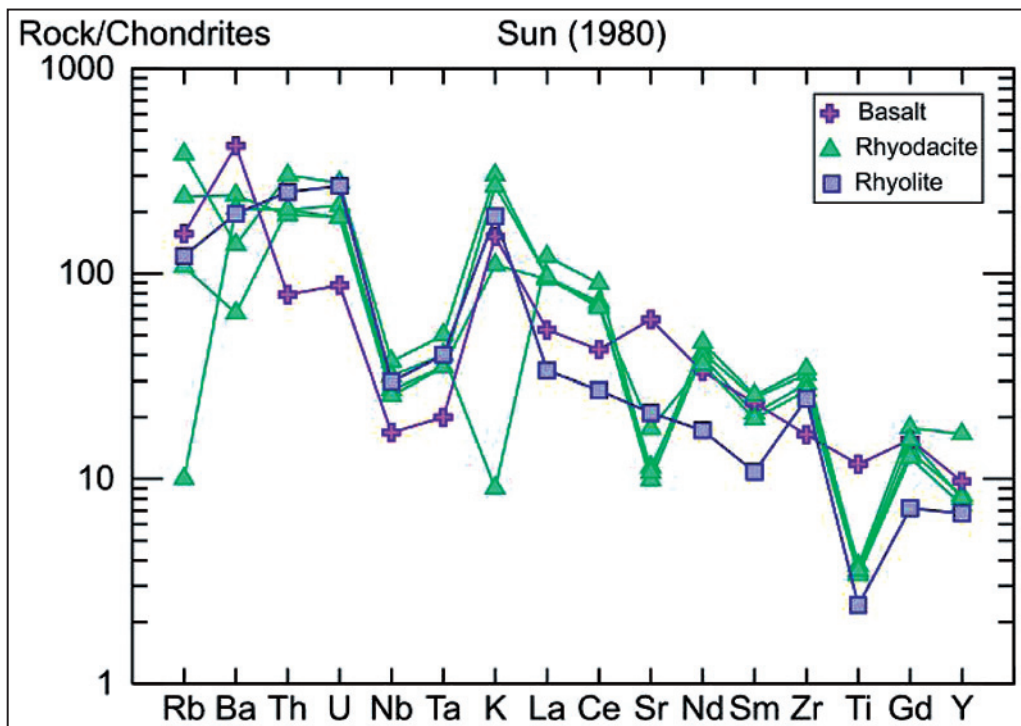
شکل ۱۰- نمودار TiO_2 - Al_2O_3 برای تعیین محیط زمین ساختی نمونه‌های منطقه مورد مطالعه .(Muller & Groves, 1997)



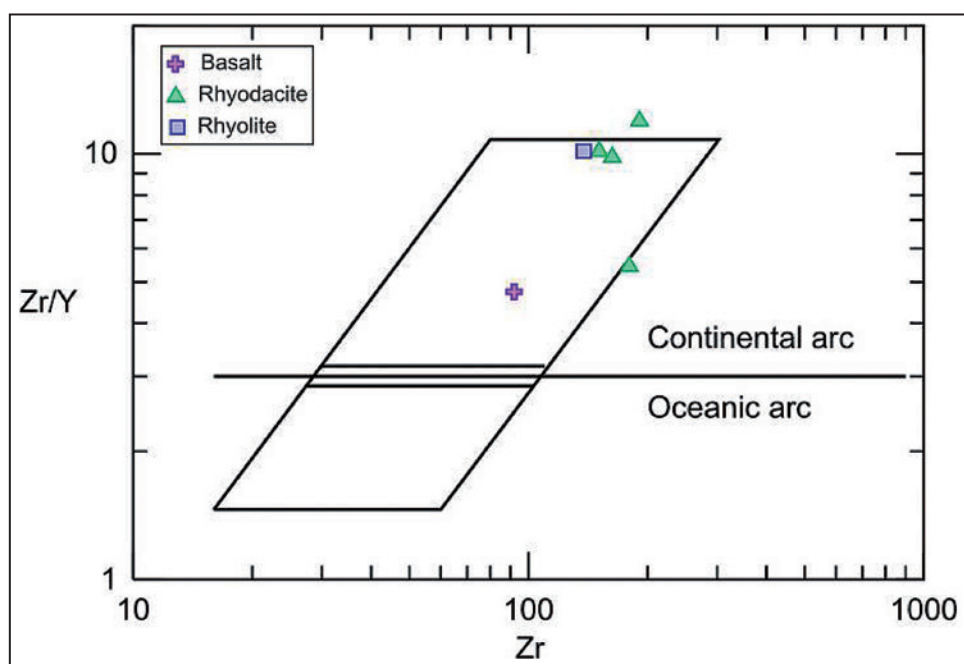
شکل ۱۲- موقعیت سنگ‌های آتششانی منطقه مورد مطالعه در نمودار (Wood 1980)



شکل ۱۱- موقعیت سنگ‌های آتششانی اسیدی منطقه مورد مطالعه در نمودار (Pearce et al. 1984)



شکل ۱۳- الگوی چند عنصره بهنجار شده نسبت به کندریت (Sun, 1980) برای سنگ‌های آتش‌شسانی منطقه مورد مطالعه.



شکل ۱۴- نمودار Zr-Y-Zr (Dunphy & Ludden, 1998) برای تعیین محیط زمین‌ساختی نمونه‌های منطقه مورد مطالعه.

جدول ۱- نتایج تجزیه شیمیایی عناصر اصلی، فرعی و خاکی کمیاب نمونه‌های سنگی منطقه مورد مطالعه (عناصر اصلی بر حسب درصد حجمی و عناصر فرعی و خاکی کمیاب بر حسب بخش در میلیون).

SAMPLE Rock Type	RA6	RBI	RCI	RD5	RE	RF4
	Rhyodacite	Rhyodacite	Basalt	Rhyodacite	Rhyodacite	Rhyolite
SiO ₂	70.70	67.80	51.90	69.70	67.50	74.90
Al ₂ O ₃	12.76	15.50	16.90	15.70	17.85	12.45
Fe ₂ O ₃	3.19	3.11	7.89	2.63	2.42	2.31
CaO	1.48	0.59	5.97	0.68	0.80	0.57
MgO	1.09	0.20	2.45	0.39	0.33	0.05
Na ₂ O	3.32	8.14	5.60	5.78	10.45	5.38
K ₂ O	4.37	1.59	2.19	3.86	0.13	2.75
Cr ₂ O ₃	<0.01	<0.01	0.01	<0.01	<0.01	<0.01
TiO ₂	0.39	0.36	1.22	0.35	0.37	0.25
MnO	0.04	0.04	0.10	0.03	0.02	0.03
P ₂ O ₅	0.19	0.21	0.21	0.12	0.24	0.08
SrO	0.02	<0.01	0.07	0.02	<0.01	0.01
BaO	0.06	0.02	0.18	0.11	0.08	0.09
LOI	1.29	0.60	3.87	0.50	0.90	0.20
Total	98.90	98.20	98.60	99.90	101	99.10
Cr	10	10	40	10	<10	30
Ga	15.20	14.50	15.00	12.10	21.30	10.40
Ni	<5	<5	17	<5	5	<5
V	22	30	180	25	21	57
Zn	73	98	105	39	35	32
Rb	134	37.80	54.70	83.10	3.50	42.60
Sr	108.50	125.50	656	193.50	118	231
Y	33.10	16.60	19.40	14.90	16.00	13.60
Zr	180	163	92	151	191	138
Nb	13.00	9.50	5.90	8.90	11.10	10.40
Cs	1.46	0.50	2.76	0.88	0.17	0.14
Ba	525	243	1595	916	787	745
Hf	5.30	4.30	2.60	4.10	5	4.20
Ta	1	0.70	0.40	0.70	0.80	0.80
Pb	15	8	6	6	5	7
Th	15.05	10.25	3.94	9.63	10.25	12.50
U	3.61	2.79	1.14	2.46	2.44	3.48
La	30.10	29.60	16.70	30.40	38.10	10.60
Ce	59	57	34.60	55.20	72.80	22
Pr	6.58	6.46	4.45	6.04	7.36	2.64
Nd	24.50	23.30	19.80	21.50	27.40	10.30
Sm	4.79	4.01	4.52	3.77	4.92	2.08
Eu	0.90	1.01	1.38	0.87	1.27	0.53
Gd	4.97	3.82	4.35	3.55	4.33	2.01
Tb	0.82	0.52	0.66	0.49	0.60	0.34
Dy	5.41	3.03	3.73	2.74	3.18	2.26
Ho	1.14	0.60	0.72	0.53	0.59	0.51
Er	3.65	1.90	2.07	1.72	1.68	1.67
Tm	0.53	0.27	0.28	0.24	0.23	0.27
Yb	3.68	1.99	1.83	1.63	1.60	2.05
Lu	0.56	0.30	0.27	0.26	0.23	0.33

کتابنگاری

- بومری، م.، گرگیج، م. ن.، بیانگردد، ح. و خطیب، م. م.، ۱۳۸۳- ژئوشیمی سنگ‌های ولکانیکی تفتان، جنوب شرق ایران. هشتمین همایش انجمن زمین‌شناسی ایران. در گاهی، س.، ۱۳۸۶- ماقاماتیسم پس از برخورد میومن در گستره سرچشمـ شهریابک، شمال غرب کرمان: بررسی داده‌های ایزوتوپی، تحلیل‌های پتروژئنیکی و الگوی ژئودینامیکی توده‌های گرانیتییدی و نقش ماقاماتیسم آدکاکتی در توسعه کانه‌زایی می‌س. پایان نامه دکتری پترولورژی. داشتگاه شهید باهنر کرمان، دانشکده علوم، بخش زمین‌شناسی. ۳۱۱ ص.
- سهندی، م. ر. و حاج ملا علی، ا.، ۱۳۷۴- نقشه زمین‌شناسی راور به مقیاس ۱:۱۰۰۰۰، سازمان زمین‌شناسی و اکتشافات معدنی کشور.
- عزیزان، ح.، سیفوری، س. و شهرکی، ا.، ۱۳۷۲- نقشه زمین‌شناسی کرمان به مقیاس ۱:۱۰۰۰۰، سازمان زمین‌شناسی و اکتشافات معدنی کشور.

References

- Best, M. G. & Christiansen, E. H., 2001- Igneous petrology, Blackwell 458 pp.
- Campbell, K., Ghazi, A. M., LaTour, T. & Hassanipak, A. A., 2000- Geochemistry, petrology and tectonics of the Shahr-e-Babak ophiolite, SE. Iran. Abstracts with Programs-Geological Society of America, southeastern Section 31, 9.
- Cullers, R. L. & Graf, J. L., 1984- Rare earth elements in igneous rocks of the continental crust: Intermediate and silicic rocks- ore petrogenesis. In Henderson, P., Rare earth element geochemistry. Elsevier Amsterdam 275-316.
- Donaldson, C. H. & Henderson, C. M. B., 1988- A new interpretation of round embayments quartz crystals. Mineralogical Magazine 52: 27-33.
- Dunphy, J. M. & Ludden, J. N., 1998- Petrological and geochemical characteristics of a Paleoproterozoic magmatic arc (Narsajuaq terrane, Ungava, Canada) and compositions to Superior Province granitoids. Precambrian Research 91: 109-152.
- Gill, J. B., 1981- Orogenic andesites and plate tectonics. Springer-Verlag, Berlin 358 pp.
- He, Y., Zhao, G., Sun, M. & Wilde, S. A., 2007- Geochemistry, isotope systematic and petrogenesis of the volcanic rocks in the Zongtiao mountion: An alternative interpretation for the evolution of the southern margin of the North China craton. Lithos 102: 158-178.
- Henderson, P., 1984- Rare earth element geochemistry. Elsevier, Amesterdam 510 pp.
- Irvine, T. N. & Baragar, W. R. A., 1971- A guide to the chemical classification of the common volcanic rocks. Canadian Journal of Earth Science 8: 523-548.
- Kawabata, H. & Shuto, K., 2005- Magma mixing recorded in intermediate rocks associated with high-Mg andesites from the Setouchi volcanic belt, Japan: implications for Archean TTG formation. Journal of Volcanology and Geothermal Research 140: 241- 271.
- Khalaji, A. A., Esmaeily, D., Valizadeh, M. V. & Rahimpour, H., 2005- Petrology and geochemistry of the complex Borojerd, Sanandaj-Sirjan zone, western Iran. Journal of Asian Earth Sciences 29: 859-877.
- Lang, J. R., 1991- Isotopic and geochemical characteristics of Laramid igneous rocks in Arizona, Ph.D. thesis, University of Arizona 20 pp.
- Lentz, D. R., 1998- Petrogenetic evolution of felsic volcanic sequences associated with Phanerozoic volcanic-hosted massive sulphide systems: The role of extensional geodynamics. Ore Geology Reviews 12: 289-327.
- Magganas, A. C., 2002- Constraints on the petrogenesis of Evros ophiolite extrusives, NE Greece. Lithos 65: 165-182.
- Menoge, J. F., Brewer, T. S. & Seeger, C. M., 2002- Petrogenesis of metaaluminous A-type rhyolites from the St Francois Mountains, Missouri and the mesoproterozoic evolution of the southern Laurentian matgin. Precambrian Research 113: 269-291.
- Muller, D. & Groves, D. I., 1997- Potassic igneous rocks and associated gold-copper mineralization. Lecture Notes in Earth Sciences No.56.
- Nelson, S. T. & Montana, A., 1992- Sieve-textured plagioclase in volcanic rocks produced by rapid decompression. American Mineralogist 77: 1242-1249.
- Pearce, J. A. Harris, B. W. & Ttindle, A. G., 1984- Ttrace element of diseriminant diagrams for the tectonic interpretation of granitic rocks. Journal of Petrology 25: 956-983.
- Pfander, J. A., Jochum, K. P., Kröner, I. K. A. & Todt, W., 2002- Coupled evolution of back-arc and island arc like mafic crust in the late-Neoproterozoic Agardagh Tes-Chem ophiolite, Central Asia: evidence from trace element and Sr- Nd- Pb isotope data. Contributions to Mineralogy and Petrology 143: 154-174.
- Plechov, P. Y., Tsai, A. E., Shcherbakov, V. D. & Dirksen, O. V., 2008- Opacitization Conditions of Hornblende in Bezymyannyi Volcano Andesites (March 30, 1956 Eruption). Petrology 16(1): 19-35.
- Rollinson, H., 1998- Using geochemical data: Evaluation, presentation, interpretation. Longman, Singapore 352 pp.
- Shand, S. J., 1943- Eruptive Rocks; Their Genesis, Composition, Classification, and their Relation to Ore Deposits", with a chapter on Meteorites (revised second edition): Hafner Publishing Co., New York 444 pp.
- Shelly, D., 1993- Igneous and metamorphic rocks under the microscope. Chapman and Hall 445 pp.
- Sun, S. S. & McDonough, W. F., 1989- Chemical and isotopic systematics of oceanic basalts: implications for mantle compositions and processes. In: Saunders, A.D., Norry, M.J. (Eds.), Magmatism in the Ocean Basins. Geological Society Special Publication 42: 313-345.
- Sun, S. S., 1980- Lead isotopic study of young volcanic rocks from mid-ocean ridges, ocean islands and island arcs. Philosophical Transactions of the Royal Society of London A 297: 409-445.
- Vernon, R. H., 2004- A Practical Guide to Rock Microstructure. Cambridge University Press, Cambridge 336.
- Wang, Q., Xu, J. F., Jian, P., Bao, Z. W., Zhao, Z. H., Li, C. F., Xiong, X. L. & Ma, J. L., 2006- Petrogenesis of adakitic porphyries in an extensional tectonic setting, Dexing, South China: implications for the genesis of porphyry copper mineralization. Journal of Petrology 47: 119-144.
- Winchester, J. A. & Floyd, P. A., 1977- Geochemical discrimination of different magma series and their differentiation products using immobile elements, Chemical Geology 20: 325-343.
- Wood, D. A., 1980- The application of a Th-Hf-Ta diagram to problems of tectonomagmatic classification and to establishing the nature of crustal contamination of basaltic lavas of the British Tertiary volcanic province. Earth and Planetary Science Letters 50: 11-30.
- Zen, E., 1986- Aluminum enrichment in silicate melts by fractional crystallization: some mineralogical and petrographic constraints. Journal of Petrology 27: 1095-1118.

Petrography, Geochemistry and Origin of Volcanic Rocks in Northeast of Kerman City

M. Refoseh ^{1*}, A. Shaker Ardakani ² & H. Ranjbar ³

¹ M. Sc., Geological Survey and Mineral Exploration of Iran, Southeast Branch, Kerman, Iran

² Assistant Professor, Department of Mining Engineering, Higher Education Complex of Zarand, Shahid Bahonar University of Kerman, Kerman, Iran

³ Professor, Department of Mining Engineering, Faculty of Engineering, Shahid Bahonar University of Kerman, Kerman, Iran

Received: 2013 April 07

Accepted: 2015 January 07

Abstract

Volcanic, sub-volcanic (dyke) and pyroclastic (agglomerate and tuff) rocks of Eocene age are located in the Kalmard block at the north and northeast of Kerman City. Petrographically, the lavas are basalt, andesite, rhyodacite and rhyolite, whereas the dykes and pyroclastic rocks are andesite and crystal tuff in composition respectively. The porphyritic, microlithic-porphyritic and trachytic are the main textures and mineralogically the rocks consist of plagioclase± quartz± K-feldspar ± biotite± amphibole± clinopyroxene± olivine+ opaque minerals. Plagioclases show evidences of disequilibrium textures such as sieve texture, resorption and zoning; whereas quartzes have resorbed margins, and amphiboles and biotites are only slightly opacitized. These textures can be resulted from magma mingling, P_{H2O} variations, and decompression with minor loss of temperature during magmatic ascent. Geochemical studies revealed that the volcanic rocks belong to sub-alkaline magmatic series with calc-alkaline nature. Furthermore, acidic volcanic rocks are metaluminous to peraluminous and show characteristics of I-type granitoids. The trace element discrimination diagrams along with chondrite-normalized rare earth element patterns show that the igneous rocks formed in an active continental arc environment.

Keywords: Kerman, Kalmard block, Magma mixing, Active continental arc.

For Persian Version see pages 97 to 106

*Corresponding author: M. Refoseh; E-mail: refoseh@yahoo.com